

ОСОБЕННОСТИ КИНЕТИКИ ПОЛЯРИЗАЦИИ РЕЛАКСОРНОГО СЕГНЕТОЭЛЕКТРИКА

B. B. Гладкий, B. A. Кириков, T. P. Волк*

*Институт кристаллографии им. А. В. Шубникова Российской академии наук
117333, Москва, Россия*

Л. И. Ивлева

*Научный центр лазерных материалов и технологий
Института общей физики Российской академии наук
117942, Москва, Россия*

Поступила в редакцию 8 февраля 2001 г.

На примере кристаллов SBN, легированных ионами редкоземельных элементов, показано, что релаксорные сегнетоэлектрики имеют ярко выраженные аномалии, проявляющиеся в несовпадении траекторий нескольких первых циклов петель диэлектрического гистерезиса, в отсутствии однозначного коэрцитивного поля и в других особенностях кинетики поляризации и деполяризации. Аномалии связаны со структурным беспорядком кристаллов, со случайным распределением внутреннего электрического поля и наблюдаются только в постоянных и квазистатических электрических полях. Проведен феноменологический анализ термоактивационных стадий релаксации поляризации. Восстановлены спектры распределения потенциальных барьеров по энергии для центров релаксации в приближении их независимости. Отмечается существенная роль электропроводности в формировании гигантских барьеров.

PACS: 77.80.Fm

1. ВВЕДЕНИЕ

Релаксорные сегнетоэлектрики (релаксоры) — твердые оксидные растворы со структурой перовскита [1–3] или вольфрамовой бронзы [2–4]. Наиболее изученными представителями последних являются кристаллы $\text{Sr}_x\text{Ba}_{1-x}\text{Nb}_2\text{O}_6$ (SBN) с концентрациями Sr в интервале $0.75 \geq x \geq 0.25$ [4]. Характерной особенностью релаксоров является существенное разупорядочение структуры, обусловленное различными причинами. Например, в SBN атомы Ba и Sr заполняют лишь 5/6 базисных позиций и статистически распределены по двум имеющимся структурным каналам [5]. В отличие от обычных однородных сегнетоэлектриков фазовый переход в поляризованное состояние и аномалии физических свойств в релаксорах размыты в широкой области температур (область Кюри). Например, функция диэлектрической проницаемости ϵ имеет пологий максимум и

заметную частотную дисперсию при некоторой температуре T_m [1–3].

Для релаксоров характерны высокие значения диэлектрических, пьезо-, пироэлектрических, электро- и нелинейно-оптических характеристик с большой нелинейностью и слабыми температурными зависимостями благодаря размытию фазовых переходов. По этой причине релаксоры перспективны для применений в оптике и пьезотехнике. Привлекательным в этих материалах является также возможность варьирования их свойств при изменении химического состава. В частности, в кристаллах SBN при увеличении концентрации Sr [2–4] и легировании примесями редкоземельных элементов [6–8] существенно снижается температура T_m , увеличивается ряд практически важных параметров, а характерные для релаксора свойства становятся более выраженным. Кристаллы SBN находят определенные практические применения, например в голограммии [9], поскольку при легировании Ce, Cr, Co они приобретают хорошую чувствительность к записи

*E-mail: glad@ns.crys.ras.ru

и высокие константы связи («коэффициенты усиления») световых волн при многоволновых взаимодействиях. Кристаллы SBN с некоторыми редкоземельными примесями перспективны также для пьезотехники [6, 8]. Одной из новых возможностей применения SBN является преобразование оптических частот в режиме квазифазового синхронизма на регулярных доменных структурах [10–12].

Общим недостатком всех релаксоров, в частности SBN, является невоспроизводимость свойств и их ухудшение в результате приложения внешних воздействий и прежде всего электрического поля. В связи с этим важное значение приобретает детальное исследование процессов поляризации. Диэлектрические свойства релаксоров исследовались ранее в переменных электрических полях [1–3]. В настоящей статье приводятся результаты измерения поляризации в постоянных и медленнomenяющихся (квазистатических) полях, позволяющих учесть вклад долгоживущих метастабильных состояний, присущих всем неоднородным структурам [13]. Наши предварительные данные для одного состава SBN показали [7, 14], что процессы поляризации весьма специфичны в релаксорах и не могут быть описаны в рамках традиционных представлений о них в обычных однородных сегнетоэлектриках. Цель настоящей работы — сравнительный экспериментальный анализ кинетики поляризации кристаллов с различными релаксорными свойствами и модельного однородного сегнетоэлектрика триглицинсульфата (TGS).

2. КРИСТАЛЛЫ И МЕТОДИКА ЭКСПЕРИМЕНТА

Для выявления связи наблюдаемой специфики поляризации с релаксорными характеристиками выбраны два образца монокристалла SBN с концентрацией Sr 0.61 ат.%, легированные различными примесями редкоземельных металлов, позволяющими регулировать степень размытия фазового перехода и значения электрической проводимости. Базисный состав SBN является конгруэнтным и обладает наилучшим оптическим качеством по сравнению с другими кристаллами SBN [4]. Кристаллы выращены с использованием модифицированной методики Степанова в НЦЛМиТ ИОФ РАН [15]. Один образец, SBN:(La+Ce), легирован 1 вес.% La₂O₃ и 0.1 вес.% Ce₂O₃ в расплаве (концентрации примесей в кристалле составляют 0.44 ат.% La и 0.023 ат.% Ce по данным измерения на микроанализаторе Camebax);

другой образец, SBN:Nd, легирован 0.5 вес.% Nd₂O₃ (концентрация примеси в кристалле по грубым оценкам составляет 0.7–0.8 ат.% Nd).

Выбор типа легирования для исследуемых кристаллов определялся возможностью контролировать температуру фазового перехода и степень его размытия при введении редкоземельных примесей [8]. Кристалл SBN:(La+Ce), который благодаря высоким значениям электрооптических коэффициентов и коэффициентов усиления света перспективен для динамической голограмии [16], имеет наиболее размытый максимум ε при сравнительно низкой температуре $T_m = (310–314)\text{K}$ [7, 8]. Поэтому ожидаемое аномальное поведение поляризации вблизи T_m более доступно для исследований с помощью используемой нами прецизионной электрометрической регистрации благодаря относительно высокому электросопротивлению (которое, как известно, растет с уменьшением температуры). В кристалле SBN:Nd температура $T_m = 340\text{ K}$ выше, а электросопротивление ниже, чем у первого кристалла, что дает возможность оценить влияние свободных носителей заряда на процессы поляризации. Интерес к исследованию этого состава обусловлен тем, что в нем обнаружен эффект самоудвоения частоты генерации, возбуждаемой на ионах Nd³⁺, на сегнетоэлектрических микродоменах [12].

Исследуемые образцы — шлифованные пластины полярного z -среза кристаллов размером $2.5 \times 3 \times 0.7\text{ mm}^3$. Большие грани покрывались серебряной пастой. Температура образцов выдерживалась в криостате с точностью не менее 0.03 K.

Поляризация кристаллов P измерялась прецизионным компенсационным электрометрическим методом. Основной элемент схемы измерения — равноплечий мост. В одном его плече находится образец, во втором — эталонная емкость C , в третьем и четвертом — низкоомные источники постоянных напряжений V и v , подаваемых соответственно на образец и емкость C . В диагональ моста включается нуль-индикатор — электрометр В7-29. При балансировке моста напряжение на электрометре становится равным нулю, а плотность электрического заряда Q на электродах образца площадью S в момент времени t равна

$$\sigma(t) = \frac{Q(t)}{S} = \frac{Cv(t)}{S} = P(t) + \frac{E}{\rho} t, \quad (1)$$

где $E = V/d$, d — толщина образца, ρ — удельное электрическое сопротивление. Если ρ велико и вторым членом в (1) можно пренебречь, то изменение заряда $\sigma(t)$ со временем полностью связано толь-

ко с изменением $P(t)$. В хороших диэлектриках с большим ρ это условие выполняется, поэтому поправок на влияние электропроводимости практически не требуется.

Максимальная чувствительность моста по напряжению равна 20 мкВ, по заряду составляет $2 \cdot 10^{-9}$ мКл (при $C = 10$ пКФ). Компенсация напряжения в диагонали моста осуществлялась программным способом на персональном компьютере и периферийных управляемых блоках. Зависимость компенсационного напряжения $v(t)$ воспроизводилась на мониторе в режиме реального времени. Подробное описание всей установки приводится в [13].

Поляризация P регистрировалась в следующих трех режимах измерения: при непрерывном охлаждении и нагревании кристаллов в поле $E = 0$ (пироэлектрический эффект), в переменном квазистатическом поле E при $T = \text{const}$ (диэлектрический гистерезис), в присутствии или отсутствии поля $E = \text{const}$ при $T = \text{const}$ (релаксация поляризации). При измерении пироэлектрического эффекта скорость изменения температуры составляла 0.3 град/мин. При измерении диэлектрического гистерезиса напряжение V , изменяющееся в интервале $+300 \div -300$ В, подавалось от источника Б5-50, управляемого программным блоком. Снималось несколько циклов переполяризации с шагом кратным 1 В и промежутком времени кратным 1 с; максимальное количество шагов составляло 1200. При измерении кинетики поляризации и деполяризации регистрация изменения P проводилась через интервалы времени от 0.25 до 1 мин.

Электросопротивление R оценивалось при больших временах, после того как релаксация P практически останавливалась и зависимость заряда Q от времени представляла собой прямую линию, $dQ/dt = V/R$. Все измерения проводились с неполяризованными кристаллами: образцы нагревались выше T_m , а затем охлаждались до заданной температуры в поле $E = 0$.

3. РЕЗУЛЬТАТЫ И ОБСУЖДЕНИЕ

3.1. Пироэлектрический эффект и диэлектрический гистерезис в релаксорных сегнетоэлектриках. Температурные зависимости ε образцов в переменном поле с частотой 1 кГц приведены на рис. 1. Видно, что максимум ε для SBN:(La+Ce) меньше, а размытие фазового перехода больше, чем для SBN:Nd. Этот факт, а также заметная частотная дисперсия температуры T_m максимума ε в SBN:(La+Ce) [7, 8] свидетельствуют о более выраженных релаксорных

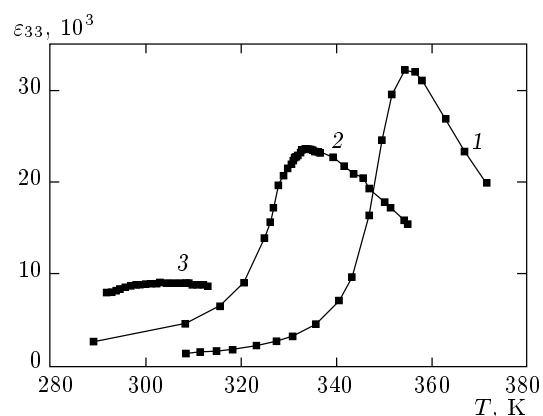


Рис. 1. Температурные зависимости диэлектрической проницаемости ε_{33} нелегированного (1) и легированных Nd (2), La, Ce (3) кристаллов SBN. Частота измерения 1 кГц

свойствах этого состава. На рисунке 2 приведены зависимости приращения ΔP от температуры в неполяризованных кристаллах SBN:(Ce+La) и SBN:Nd. Цифры у точек кривых отмечают последовательность изменения температуры и поляризации со временем. Зависимости $\Delta P(T)$ на рис. 2 коррелируют с $\varepsilon(T)$ на рис. 1: первый релаксор характеризуется размытым максимумом ε и плавным изменением ΔP при $T < T_m$, тогда как во втором кристалле более отчетливый максимум ε при T_m согласуется с относительно резким изменением ΔP . Нетрудно проверить, что ΔP с температурой изменяется параболически: $\Delta P = 0.18(\theta - T)^{1/2}$ (вставка на рис. 2б). Температура $\theta = 317$ К несколько ниже T_m , что связано, по-видимому, с хорошо известной низкочастотной дисперсией ε [2].

Наблюдаемый в неполяризованных кристаллах пироэлектрический эффект (рис. 2) свидетельствует прежде всего об унипольярности образцов, т. е. о неравенстве объемов областей со взаимно противоположными направлениями спонтанной поляризации P_s . Для более выраженного релаксора SBN:(Ce+La) унипольярность значительно выше (рис. 2а). Зависимости $\Delta P(T)$ при охлаждении и нагревании не совпадают, причем величина этого температурного гистерезиса зависит от скорости изменения температуры. Это иллюстрируется релаксацией значения ΔP от точки 4 до 5 при некоторой фиксированной температуре на рис. 2б (вставка). Релаксация ΔP свидетельствует о формировании в кристаллах после охлаждения долгоживущих метастабильных состояний. Подробнее этот вопрос рассмотрен ниже.

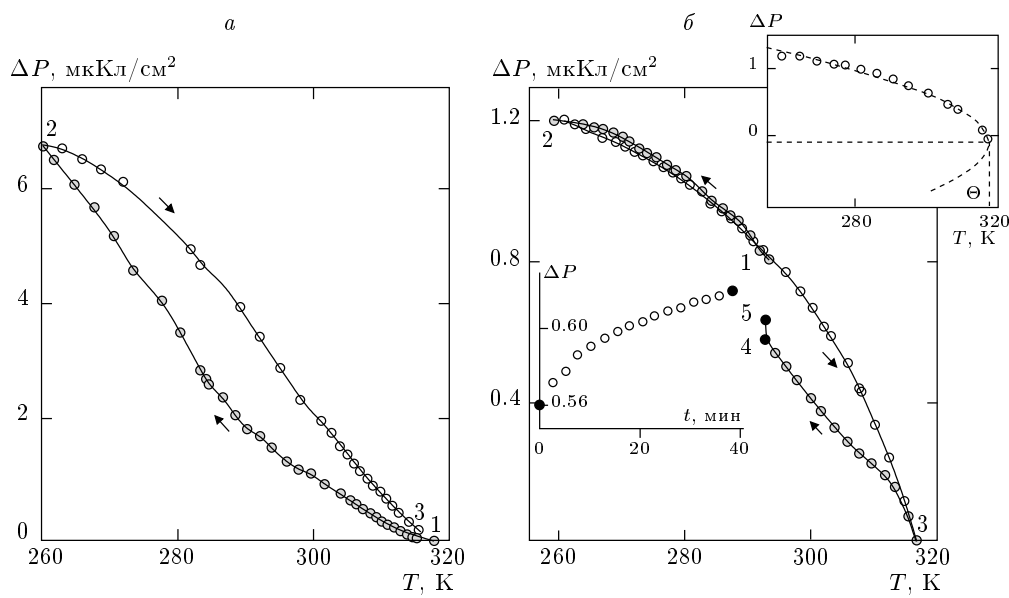


Рис. 2. Измерение поляризации ΔP при охлаждении и нагревании кристаллов SBN (La+Ce) (а) и SBN:Nd (б) в поле $E = 0$. На вставках — релаксация ΔP от точки 4 до точки 5 и парабола $\Delta P(T)$

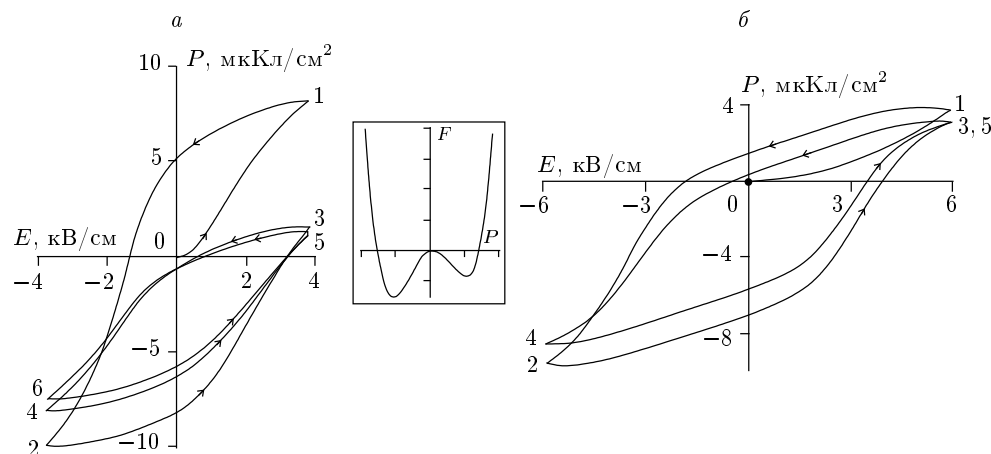


Рис. 3. Петли диэлектрического гистерезиса SBN:(La+Ce) (а) и SBN:Nd (б). Цифры у кривых отмечают последовательность изменения поляризации P . На вставке — схематическое изображение локальной функции свободной энергии F как функции P

Квазистатические петли диэлектрического гистерезиса релаксоров приведены на рис. 3. Чёрные кружки — начало процессов переполяризации. Цифры у кривых — последовательность изменения P . В отличие от обычных однородных сегнетоэлектриков первые циклы петель — незамкнутые и несовпадающие кривые с уменьшающейся амплитудой P . Через несколько циклов уменьшение амплитуды P практически прекращается, и все последующие траектории P совпадают, т. е. становятся воспроизводимыми и петли принимают привычный вид. Видно, что эти

аномалии низкочастотной переполяризации больше у первого кристалла, имеющего, как отмечено выше, более выраженные другие релаксорные свойства.

Необычная форма петель — прямое подтверждение предложенных ранее представлений об особенностях полярной структуры релаксоров [3] и может быть феноменологически объяснена следующим образом. Разупорядочение определенных ионов по различным позициям в структуре (например, в SBN разупорядочение Ba и Sr по двум катионным позициям [4, 5]) должно приводить к градиенту их кон-

центрации, локальным внутренним электрическим полям E_i и, как следствие, к понижению локальной симметрии. Локальная свободная энергия для такой системы будет асимметричной двухминимумной функцией поляризации,

$$F = -\alpha P^2 + \beta P^4 - (E_i + E)P, \quad (2)$$

где E — внешнее поле [2, 3]. На вставке рис. 3 схематически показана F для $E_i + E < 0$. Поле E_i , глубина минимумов и потенциальные барьеры между ними — случайные величины, которые распределены по объему кристалла в широком интервале значений. При $E = 0$ различные области кристалла находятся в стабильных или в метастабильных состояниях, отвечающих соответственно глубоким и мелким минимумам F как с $P > 0$, так и с $P < 0$. В переменном поле определенной амплитуды E могут наблюдаться переходы некоторых областей кристалла в стабильные состояния, поскольку присутствие поля способствует понижению барьеров и ускорению релаксации. Обратный процесс практически невозможен до тех пор, пока $|E| \leq |E_i|$. В результате эти области не участвуют в дальнейшем процессе переполяризации и амплитуда P уменьшается. Мерой относительного объема не участвующих («замороженных») областей может являться разность значений P в начале и в конце цикла изменения E . Например, на рис. 3а относительный объем «замороженных» областей составляет величину примерно 40%. Качественно сходные результаты были получены при исследовании SBN в импульсных полях [8]. При понижении температуры или уменьшении поля E увеличиваются все потенциальные барьеры и уменьшается амплитуда изменения P [7]. Полная воспроизведенная переполяризация всего объема кристалла возможна только в поле E , большем максимального E_i в образце, значение которого, по-видимому, велико.

3.2. Релаксация поляризации в релаксорных сегнетоэлектриках. Более полную информацию о структуре барьеров можно получить в результате анализа релаксации поляризации P в различных постоянных полях E . Напомним, как выглядит такая релаксация в обычном однородном сегнетоэлектрике, у которого везде $E_i = 0$, F в (2) — симметричная функция P при $E = 0$, спонтанная поляризация $P_s = (\alpha/2\beta)^{1/2}$, а коэрцитивное поле $E_c = (2\alpha/3)[(2\alpha/3)/\beta]^{1/2}$ совпадает с полушириной петли и четко определено. При $E > E_c$ идет быстрый лавинообразный процесс поляризации, при любом $E < E_c$ — медленный термоактивационный процесс без начального скачка P . В обоих случаях

равновесная поляризация равна P_s , а скорость релаксации увеличивается с ростом E [2]. В качестве примера на рис. 4а показана релаксация P кристалла TGS для полей, меньших E_c [13].

Релаксация поляризации в исследуемых кристаллах SBN характеризуется принципиально другими зависимостями. При включении поля E , как меньшего, так и большего полуширины петли (т. е. формально меньшего и большего E_c), P сначала изменяется скачком, а затем термоактивационно (рис. 4б). Скачки, наблюдаемые в широком интервале значений E , свидетельствуют об отсутствии однозначного коэрцитивного поля E_c , которое различно в различных точках кристалла. При увеличении E скачок P , конечно, увеличивается, поскольку поляризуется больший объем кристалла. Феноменологический анализ термоактивационных стадий релаксации показывает, что к релаксору также неприменимо представление об определенной равновесной поляризации P_e , так как каждому значению E соответствует некоторая предельная величина P_e , увеличивающаяся с ростом E при вовлечении в процесс поляризации других областей кристалла (рис. 4б), которые в меньших полях оставались «замороженными».

Анализ термоактивационных стадий релаксации проводился так же, как в [17], в приближении независимости центров релаксации, когда их вклад в поляризацию можно считать аддитивным. Тогда безразмерная поляризация имеет вид

$$p(t) = \frac{P_e - P(t)}{P_e - P_0} = \int_0^\infty f(\tau) \exp\left(-\frac{t}{\tau}\right) d\tau. \quad (3)$$

Здесь P_0 — начальная поляризация, P_e — равновесная, $P(t)$ — в момент времени t , $f(\tau)$ — нормированная функция распределения времен релаксации τ . Функции $\tau^2 f(\tau)$ и $p(t)$ связаны интегральным преобразованием Лапласа.

Наши экспериментальные данные следуют степенному временному закону

$$p(t) = 1/(1 + t/a)^n. \quad (4)$$

Аппроксимация данных измерений $P(t)$ зависимостями (3) и (4) с тремя свободными параметрами, P_e , a , n , проводилась методом наименьших квадратов по стандартной программе. На рис. 4а, б сплошные кривые — расчет, а кружки — эксперимент. Отклонение последних от кривых не превышает 0.5%. Существенно, что ошибки определения параметров P_e , a , n тем меньше, чем больше интервал времени регистрации релаксации [17]. Значения параметров для TGS и SBN:(La+Ce) приведены в табл. 1.

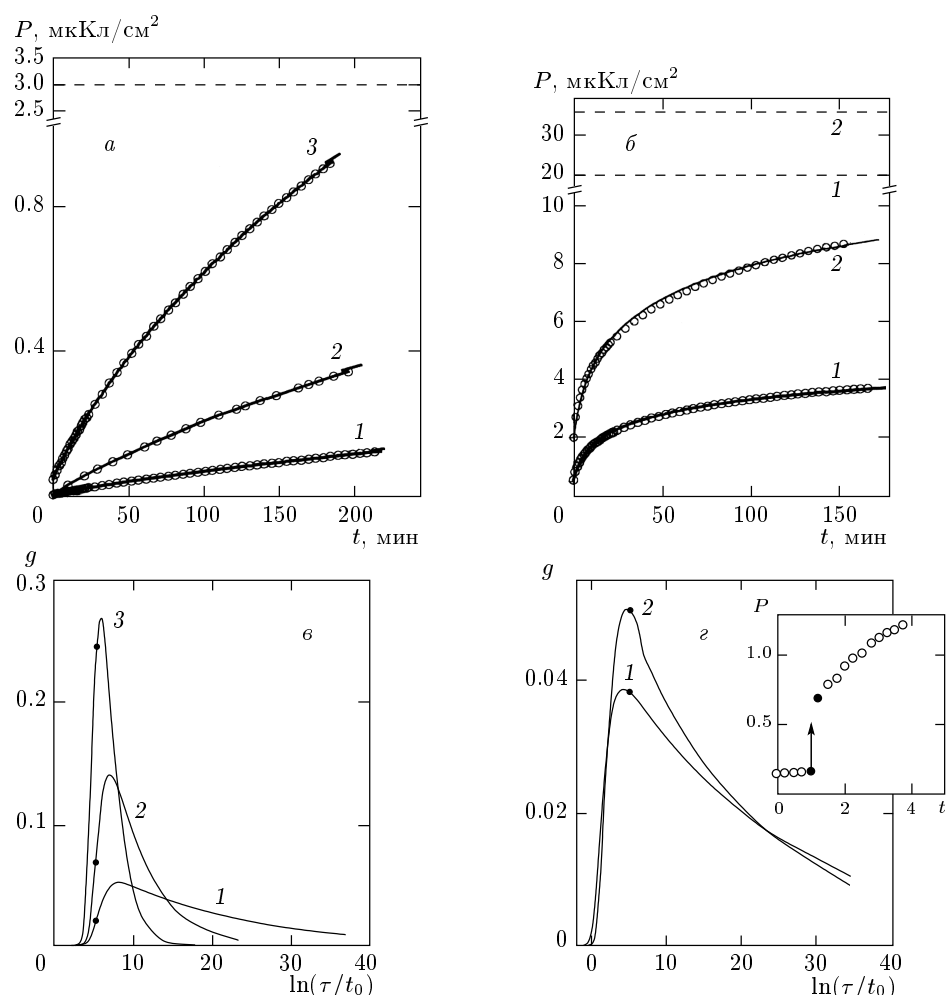


Рис. 4. Релаксация поляризации P (*a*, *б*) и спектры $g(\ln \tau)$ (*в*, *г*) для TGS (*a*, *в*) и SBN (La+Ce) (*б*, *г*): *a*, *в* — поле $E = 5.6$ (1), 16 (2), 25 В/см (3), $T = 293$ К; *б*, *г* — поле $E = 300$ (1), 600 В/см (2), $T = 274$ К. Сплошные кривые — расчет, кружки — эксперимент. Штриховые линии — равновесные значения P_e , $t_0 = 1$ мин. На вставке — начало релаксации SBN в поле $E = 300$ В/см (скачок P отмечен стрелкой)

Таблица 1. Параметры релаксации и спектров распределения $g(\tau)$ при поляризации кристаллов TGS и SBN (La+Ce)

Кристалл	T , К	E , В/см	P_e , мкКл/см ²	a , мин	n	τ_m , мин	ΔU , эВ	S
TGS	293	5.6	3.0	242.2	0.063	3800 ± 270	0.14	0.013
		16		269.4	0.220	1225 ± 85	0.09	0.027
		25		223.6	0.589	380 ± 30	0.06	0.168
SBN	274	300	24.5 ± 0.016	3.724 ± 0.012	0.045 ± 0.001	82.2 ± 0.3	0.15	0.14
		400	26.97 ± 0.019	4.35 ± 0.013	0.038 ± 0.001	114.5 ± 0.4	0.16	0.11
		600	38.41 ± 0.013	4.799 ± 0.07	0.058 ± 0.001	82.74 ± 0.15	0.14	0.16

Эмпирический закон (4), по-видимому, является универсальным для неоднородных систем различного типа. Многие наблюдавшиеся ранее неэкспоненциальные зависимости являются его частными случаями. Например, $p(t) \sim 1/t^n$ при $t \gg a$, $p(t) \sim 1 - (n/a)t$ при $t \ll a$ [18], $p(t) \sim 1 - n \ln(1 + t/a)$ при $n \ll 1$ [19]. Закону (4) подчиняется также релаксация $p(t)$ в смешанных кристаллах $\text{K}_{1-x}\text{Li}_x\text{TaO}_3$ в состоянии стекла [20]. По сравнению с давно известным законом Кольрауша:

$$p(t) \sim \exp\left(-\frac{t}{\tau}\right)^\beta \quad (\beta < 1),$$

который справедлив на больших временах и для наших кристаллов, закон (4) имеет два преимущества. Во-первых, он правильно описывает релаксацию даже на малых временах. Во-вторых, при любых значениях параметров a и n ему соответствует простая функция $f(\tau)$.

Потенциальный барьер U для центра релаксации связан со временем τ соотношением Аррениуса $U = kT \ln(\tau/\tau_0)$, где τ_0 — кинетический коэффициент. В связи с этим удобнее пользоваться вместо $f(\tau)$ безразмерной функцией $g(\ln \tau) = \tau f(\tau)$, характеризующей распределение $\ln \tau$ или распределение барьеров по энергии U . Для закона (4) эта функция имеет вид [21]

$$g = \frac{1}{\Gamma(n)} \left(\frac{a}{\tau}\right)^n \exp\left(-\frac{a}{\tau}\right), \quad (5)$$

где $\Gamma(n)$ — гамма-функция.

Максимум $g(\ln \tau)$ находится при $\tau_m = a/n$. При медленной релаксации, $n \ll 1$, весь спектр смещается к большим значениям U и τ , ширина его возрастает, а максимум уменьшается. За меру ширины спектра можно принять разность

$$\Delta(\ln \tau) = \ln \tau_2 - \ln \tau_1$$

или

$$\Delta U = kT \ln(\tau_2/\tau_1),$$

где τ_2, τ_1 — времена релаксации τ , соответствующие точкам перегиба на кривой спектра $g(\ln \tau)$, в которых $d^2g/d(\ln \tau)^2 = 0$. Тогда, пользуясь выражением (5), получим

$$\Delta U = 2kT \ln \frac{(2n+1) + (4n+1)^{1/2}}{2n}$$

или

$$\Delta U = -2kT \ln n \quad \text{при } n \ll 1.$$

Точки на спектрах рис. 4 соответствуют значениям τ , равным временам регистрации релаксации

t_{max} . При $\tau > t_{max}$ спектры — результат экстраполяции экспериментальных данных на большие времена. Например, при $\ln(\tau/t_0) = 10$ ($t_0 = 1$ мин) $\tau = 15$ суток, при $\ln(\tau/t_0) = 30$ $\tau = 10$ лет. Очевидно, что доля регистрируемых в эксперименте процессов релаксации, равная площади S , ограниченной кривой $g(\ln \tau)$ до точки $\ln(t_{max}/t_0)$, как правило, невелика. Параметры спектров и площади S приведены в табл. 1.

Различие спектров $g(\ln \tau)$ для TGS и релаксора SBN очевидно. При увеличении поля E , не превышающего полуширины петли гистерезиса, спектр g для TGS монотонно смещается к малым τ и резко сужается, демонстрируя тенденцию к одновременному сближению и уменьшению энергий U всех барьеров при приближении E к E_c (рис. 4б). Для SBN такой четкой зависимости g от E нет (рис. 4г): спектры для двух различных значений E практически совпадают. Этот факт является следствием того, что для используемого интервала значений E в поляризации, как отмечалось выше, принимает участие только часть всего кристалла, которая, конечно, увеличивается с ростом E , но вклад медленных процессов при этом для различных E может случайно оказаться практически одинаковым.

3.3. Влияние электропроводимости на процессы релаксации поляризации. При медленных процессах измерения должен быть заметным вклад ΔQ электропроводимости в регистрируемый заряд. Вклад ΔQ и удельное сопротивление ρ можно оценить, если разделить линейную и нелинейную составляющие релаксации заряда Q . Для кристаллов SBN:(La+Ce) и SBN:Nd такие оценки дают соответственно $\rho = 2 \cdot 10^{13}$ Ом·см и $5 \cdot 10^{11}$ Ом·см, $\Delta Q = E t / \rho = 0.03$ мКл/см² и 0.7 мКл/см² при включении поля $E = 600$ В/см на 15 мин при $T = 273$ К. Видно, что для первого кристалла вклад электропроводимости ΔQ по сравнению с регистрируемой поляризацией P мал, а для второго — достаточно велик (см. рис. 3). Данные измерения поляризации на рис. 3 и 4 получены с учетом поправок на проводимость. Для второго кристалла кривые релаксации поляризации не приводятся и не анализируются из-за большой ошибки, возникающей из-за электропроводимости при разделении линейной и нелинейной составляющих регистрируемого электрического заряда.

Роль электропроводимости в формировании потенциальных барьеров для центров релаксации отчетливо проявляется в процессах деполяризации. В этом случае внешнее поле $E = 0$, поэтому отсутствует сквозная проводимость, маскирующая релак-

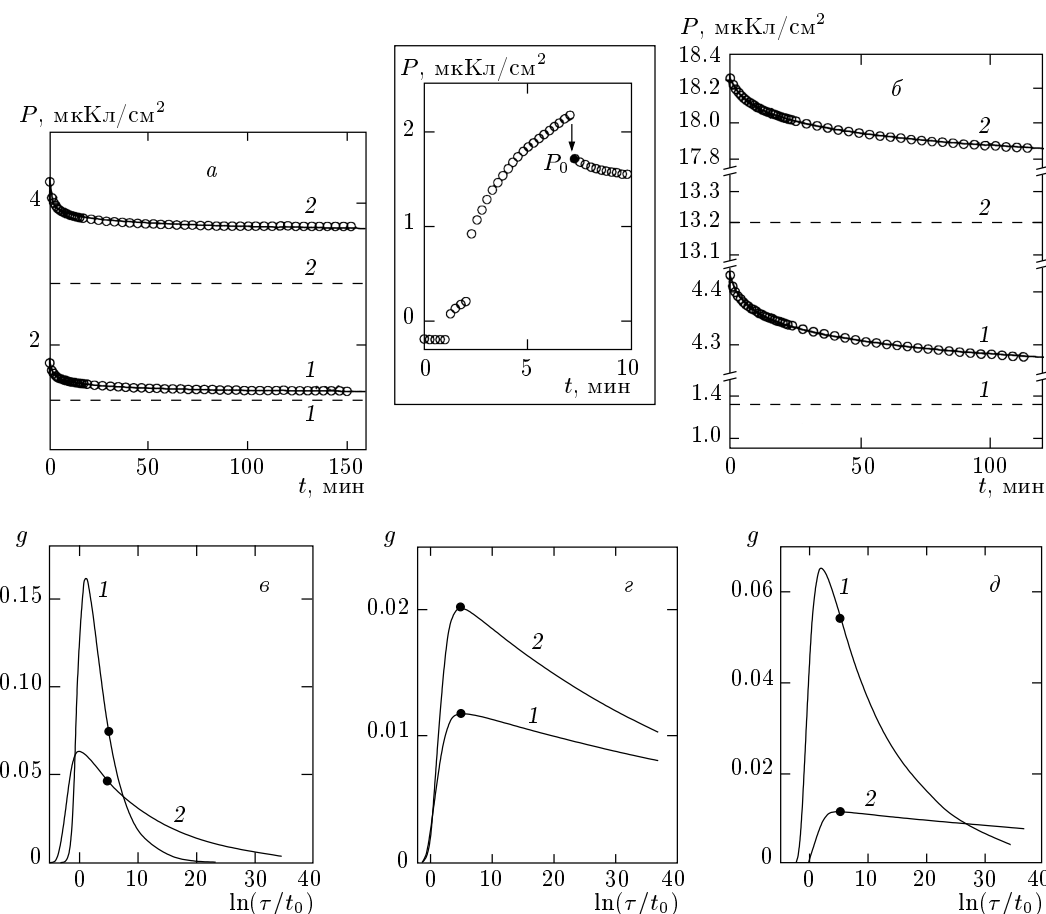


Рис. 5. Деполяризация (*a*, *б*) и спектры $g(\ln \tau)$ (*в*, *г*) для SBN (La+Ce) (*а*, *в*) и SBN:Nd (*б*, *г*): *а*, *в* — поляризующее поле $E = 500$ (1), 800 В/см (2); *б*, *г* — поле $E = 1000$ (1), 2000 В/см (2). Сплошные кривые — расчет, кружки — эксперимент. Штриховые линии — равновесные значения P_e , $T = 274$ К, $t_0 = 1$ мин; *д* — спектры SBN: (La+Ce) (1) и SBN:Nd (2), восстановленные для $E = 1000$ В/см соответственно при температурах 243 К и 273 К. На вставке — начало деполяризации SBN: (La+Ce) при выключении поля $E = 500$ В/см (скачок P отмечен стрелкой)

сацию, регистрацию и анализ которой можно провести с достаточно высокой точностью. Кристаллы поляризовались в различных электрических полях E в течение 5 мин. Затем поле отключалось и регистрировалась деполяризация (рис. 5, вставка). Так же, как при поляризации, изменение P после скачка следует степенному временному закону (4). Точки на кривых — экспериментальные данные, сплошные кривые — расчет. Штриховые линии — равновесные значения P_e . Чем больше величина E , тем больше значение P_e . Точки на спектрах $g(\ln \tau)$ соответствуют моменту времени, до которого проводилась регистрация деполяризации.

Для кристалла SBN:Nd спектр шире и включает гигантские времена релаксации. На рисунке 5 δ для сравнения приведены спектры для двух кристаллов SBN, полученные после предварительной поляриза-

ции в поле 1 кВ при температурах ниже температуры, при которой наблюдаются максимумы ε , на 60°C. Параметры релаксации и спектров приведены в табл. 2.

В уширении спектра и появлении гигантских барьеров и времен релаксации роль свободных носителей заряда очевидна. Действительно, времена экранирования $\tau_s = \varepsilon \rho / 4\pi$ равны $\tau_s = 1000$ мин и $\tau_s = 10$ мин соответственно для SBN:(La+Ce) и SBN:Nd. За время измерений $t = 120$ мин после предварительной поляризации процесс экранирования наблюдается только у второго кристалла. При этом происходит перераспределение пространственного заряда и возникает дополнительное внутреннее поле, увеличивающее асимметрию локальной свободной энергии F . Таким образом, экранирование в кристалле с меньшим сопротивлением способствует

Таблица 2. Параметры релаксации и спектров распределения $g(\tau)$ при деполяризации кристаллов SBN

При- месь	T , К	E , В/см	P_0 , мкКл/см ²	P_y , мкКл/см ²	a , мин	n	τ_m , мин	ΔU , эВ	S
La, Ce	274	500	1.75	1.217± ±0.003	0.82± ±0.06	0.273± ±0.004	2.98± ±0.26	0.061	0.65
		800	4.328	2.866± ±0.006	0.094± ±0.004	0.081± ±0.001	1.16± ±0.06	0.118	0.29
Nd	273	1000	4.432	1.312± ±0.11	1.998± ±0.3	0.012± ±0.0004	166.5± ±30	0.208	0.043
		2000	18.26	13.198± ±0.057	2.92± ±0.128	0.022± ±0.0003	132.7± ±7.4	0.18	0.076

замедлению деполяризации и увеличению равновесного значения P_e (памяти кристалла); в кристалле с большим сопротивлением, SBN:(La+Ce), роль экранирования незначительна. При оценках τ_s для статической диэлектрической проницаемости $\epsilon = 4\pi P/E$ использовались данные, показанные на рис. 3. Отметим также, что экранирование, по-видимому, ответственно и за большую ширину петли гистерезиса второго кристалла.

4. ЗАКЛЮЧЕНИЕ

Обнаруженные аномалии кинетики поляризации и деполяризации релаксорных сегнетоэлектриков (несовпадение нескольких первых циклов петель диэлектрического гистерезиса, отсутствие однозначного коэрцитивного поля и др.) увеличиваются с усилением релаксорных свойств, являются ярко выраженными признаками и мерой структурного беспорядка этих материалов, для которых характерно наличие долгоживущих метастабильных состояний. Существенно, что аномалии проявляются поэтому только в постоянных или медленнomenяющихся (квазистатических) электрических полях и ранее не отмечались, по-видимому, из-за слишком быстрых процессов измерения. Аномалии поляризации SBN могут качественно объяснить известную из литературы невоспроизводимость свойств и их ухудшение под действием полей. Результаты работы можно использовать при исследовании трансформации в электрическом поле любых физических свойств релаксоров и для контроля за состоянием их структуры, которая становится более стабильной, а экспериментальные данные воспроизводимыми после нескольких циклов медленной переполяризации.

Отметим также, что некоторые из аналогичных признаков беспорядка в менее выраженной форме можно наблюдать и в обычных однородных сегнетоэлектриках.

Работа выполнена при финансовой поддержке Российского фонда фундаментальных исследований (проекты № 99-02-17303 и 00-02-16624).

ЛИТЕРАТУРА

- Г. А. Смоленский, В. А. Исупов, А. И. Аграновская, ФТТ **1**, 167 (1959).
ДАН СССР **97**, 653 (1954).
- М. Лайнс, А. Гласс, *Сегнетоэлектрики и родственные им материалы*, Мир, Москва (1981).
- L. E. Cross, Ferroelectrics **76**, 241 (1987).
- Ю. С. Кузьминов, *Сегнетоэлектрические кристаллы для управления лазерным излучением*, Наука, Москва (1982).
- P. B. Jamieson, S. C. Abrahams, and J. L. Bernstein, J. Chem. Phys. **48**, 5048 (1968).
- R. R. Neurgaonkar, J. R. Oliver, W. K. Cory et al., Ferroelectrics **160**, 265 (1994).
- В. В. Гладкий, В. А. Кириков, С. В. Нехлюдов и др., Письма в ЖЭТФ **71**, 38 (2000).
- Т. Р. Волк, В. Ю. Салобутин, Л. И. Ивлева и др., ФТТ **42**, 2066 (2000).
- G. L. Wood, W. W. Clark, M. J. Miller et al., IEEE J. Q. E. **23**, 2126 (1987).

10. Y. Y. Zhu, J. S. Fu, R. F. Xiao et al., *Appl. Phys. Lett.* **70**, 1793 (1997).
11. S. Kawai, T. Ogawa, H. S. Lee et al., *Appl. Phys. Lett.* **73**, 768 (1998).
12. А. А. Каминский, Х. Гарсия-Золе, С. Н. Багаев и др., КЭ **25**, 1059 (1998).
13. В. В. Гладкий, В. А. Кириков, С. В. Нехлюдов и др., ФТТ **39**, 2046 (1997).
14. В. В. Гладкий, В. А. Кириков, С. В. Нехлюдов и др., ФТТ **42**, 1296 (2000).
15. L. I. Ivleva, N. V. Bogodaev, N. M. Polozkov et al., *Optical Materials* **4**, 168 (1995).
16. T. Volk, Th. Woike, U. Doerfler et al., *Ferroelectrics* **203**, 457 (1997).
17. В. В. Гладкий, В. А. Кириков, Е. С. Иванова и др., ФТТ **41**, 499 (1999).
18. A. K. Jonscher, *Dielectric Relaxation in Solids*, Chelsea Dielectric Press Ltd, London (1983).
19. В. В. Гладкий, В. А. Кириков, Е. С. Иванова, ЖЭТФ **110**, 1 (1996).
20. F. Alberici, P. Doussineau, and A. Levelut, *J. Phys. I France* **7**, 329 (1997).
21. В. И. Диткин, А. П. Прудников, *Справочник по операционному исчислению*, Высш. школа, Москва (1965).